

ASF

B9-2035-III
B9-5034-II
Do (AsF) 1949

Portner C.

Helv.Chim.Acta, 1949, 32, 1438-
1441 (*gspaus*)

The calculation of bond energies

C.A., 1949, 8764bc

ecme
grk

1965

AsF

Chlorop.

MN

Assignment of two band systems to the new radical AsF. Guy Pannetier, Pascal Deschamps, and Jean Guillaume (Fac. Sci., Paris). *Compt. Rend.* 261(17)(Groupe 7), 3396-7(1965)(Fr.). Two band systems of a new radical, AsF, appear in a Schueler-type discharge in AsF₃ vapor. Only relative vibrational analysis was possible because of the absence of isotopic bands. Values for the 3 states implicated are: $B^3\Pi:\omega_e' \cong 930 \text{ cm.}^{-1}$; $A^3\Pi:\omega_e' \cong 400 \text{ cm.}^{-1}$; and $X^3\Sigma:\omega_e'' \cong 680 \text{ cm.}^{-1}$ C. R. Ward

B.P. 5581

C.A. 1966: 64: 7

9095a

AsF

101

5 Д250. Отнесение двух систем полос новому радикулу AsF. Pannetier Guy, Deschamps Pascal, Guittaut Jean. Afftribution de deux systèmes de bandes à un nouveau radical: AsF. «C. r. Acad. sci.», 1965, 261, № 17, 3396—3397 (франц.)

В разряде в парах трехфтористого мышьяка наблюдены две системы полос в области 2050—5500 Å, отвечающие двухатомной молекуле. Первая (2050—2300 Å) содержит около трех десятков полос, сгруппированных в тройные, предварительный колебательный анализ которых выявляет существование двух подсистем. Вторая система (3150—4750 Å) содержит около 250 полос. Сопоставление с колебательными уровнями PF, SBF и BiF позволяет отнести упомянутые системы соответственно переходам $B^3\Pi - X^3$ и $A^3\Pi - X^3$ в молекуле AsF. Приблизительные значения констант $\omega_c' \approx 930 \text{ см}^{-1}$ ($B^3\Pi$); $\omega_c' \approx 400 \text{ см}^{-1}$ ($A^3\Pi$) и $\omega_c'' \approx 680 \text{ см}^{-1}$ ($X^3\Sigma$) уточняются при использовании изотопов.

Б9

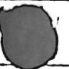
Ф. 1966 .52

As-F
chesb

Dobbie R.C., Cavell R.G. 1967

Inorg. Chem., 6, N8, 1450

Определяемая примесь.
исследование. - coagulation
в вакууме - синтез.



(Cer. C-As-coeg.)III

AsF

1967

17304d A band system attributed to AsF. Guy Pannetier, Pascal Deschamps, and Jean Guillaume (Fac. Sci., Paris). C. R. Acad. Sci., Paris, Ser. C 265(14), 710-11(1967)(Fr). In the spectrum produced by AsF₃ vapor in an Ar atm. in an elec. discharge, 12 new bands were observed: 3 weak bands at 2291.75, 2328.42, and 2366.01 Å.; and 9 strong bands at 2353.24, 2391.89, 2398.86, 2431.65, 2439.4, 2472.28, 2480.45, 2513.62, and 2552.67 Å. The latter 2 form a doublet with 130 cm.⁻¹ spacing. These bands are attributed to the AsF radical.

FBJF

C.A: 1968. 68

Y

AsF

1987

8 Б103. Новая система полос AsF. Pannetier Guy, Deschamps Pascal, Guillaüme Jean. Observation d'un nouveau système de bandes et attribution à AsF. «С. г. Acad. sci.», 1967, С 265, № 14, 710—711 (франц.)

Исследован спектр электрич. разряда в парах AsF_3 . В интервале 2290—2530 Å обнаружена новая система

12 полос. Эта система полос отнесена к переходам $A^3\Pi - X^3\Sigma$ и $B^3\Pi - X^3\Sigma$ радикала AsF. Для частоты основного колебания AsF найдено $\omega_e \geq 680 \text{ см}^{-1}$.

М. Р. Алиев

vi. vi.

X. 1988. 8

AsF

3 Б179. Колебательный анализ синглетных систем
AsF. Yee K. K., Liu D. S., Jones W. E. Vibrational
analysis of the singlet systems of AsF. «J. Mol. Spectrosc.», 1970, 35, № 1, 153—157 (англ.)

1971

Сфотографированы в области 2290—2910 Å спектры ис-
пускания AsF (микроволновый разряд в парах AsF₂). В
спектрах идентифицированы 4 системы полос, отнесенные
к переходам (в скобках указаны частоты в см^{-1}
(0—0)-полос): $d^2\Pi - a^1\Delta$ 43623,2 $e^1\Pi - a^1\Delta$ 41674,0, $d^1\Pi -$
 $b^1\Sigma$ 37033,0 и $e^1\Pi - b^1\Sigma$ 35078,2. Данна систематизация по-
лос $e^1\Pi - a^1\Delta$ в схеме Деландра; оценка величин ω_e и
 ω_{eg_e} состояния $a^1\Delta$ дает соотв. 694,0 и 3,1 см^{-1} . Отсутст-
вие высших колебательных уровней в обоих $^1\Pi$ -состоя-
ниях свидетельствует о предиссоциации. Б. В. Рассадин

и.и.

ХХХ

2:

предиссоу.

X. 1971. 1

AsF

XIII - 75

1970

30338r Vibrational analysis of the singlet systems of arsenic fluoride. Yee, Kim Kuo; Liu, D. S.; Jones, William Ernest (Dep. Chem., Dalhousie Univ., Halifax, Nova Scotia). *J. Mol. Spectrosc.* 1970, 35(1), 153-7 (Eng). Four singlet band systems in the region 2290-2910 Å attributed to the AsF mol. have been obsd. in a microwave discharge through flowing AsF₃ vapor. These are tentatively assigned to transitions involving 2 upper ¹Π and the lower ^a1Δ and ^b1Σ states. Vibrational anal. gives values for ω_e of 694.0 cm⁻¹ and ω_{ex} of 3.1 cm⁻¹ for the ^a1Δ state, while interfering bands did not allow calcn. of consts. for ^b1Σ. The absence of bands involving upper vibrational levels of the 2 ¹Π states indicates that predissocn. occurs in these states.

RCKP

C.A. 1970-73

6

AsF

1971

39544z Analysis of the absorption spectrum and of two new singlet systems of arsenic monofluoride. Chatalic, Andre; Danon, Nejat; Pannetier, Guy (Lab. Cinet. Chim., Univ. Paris VI, Paris, Fr.). *C. R. Acad. Sci., Ser. C* 1971, 273(15), 874-7 (Fr). Rotational anal. of the emission bands of the $c'^1\pi-a'\Delta$ system (3500-4000 Å) led to characterization of the $c'^1\pi$ singlet state of AsF: ω_e 399.0, $x_e\omega_e$ 1.4, B_e 0.2932, $D \cong 7 \times 10^{-7}$ cm $^{-1}$. A 2nd system, $c'^1\pi-b^1\Sigma$ was detected on the high-frequency side of the preceding system; sepn. of corresponding lines was 6597 cm $^{-1}$. On the short wavelength side, the $c^1\pi-b^1\Sigma$ and $d^1\pi-b^1\Sigma$ systems were obsd. The $B_1-X^3\Sigma$ system was identified by absorption in the far uv; the values ω_e 673 and $x_e\omega_e$ 3 cm $^{-1}$ were detd. for the ground state, $^3\Sigma^-$.

Oct. 1979. H. S.

ASF

A. Chatalie, N. Danon, G. Pannetier

1971

Comptes Rendus 1971, C, 273, N 15изучение адсорб. окисири и 2 новых системных
составов на основе АсF.

здесь

Результаты в изложении стимулированы работами
"REOSC" по UVCR с дисперсией 1 Å/mm и 3,5 Å/mm.
Установлено, что природные гидраты АсF с He₂ или H₂.

Вр. анализа исключительной массы систем с C'17-A'1 в
сферах 3500-4500 Å позволяют найти для новых сист-
емного состояния АсF (Бан'): $\omega_2 = 399,0$; $\omega_{12} = 1,4$; $B_2 = 0,293$,
 $D \approx 7 \cdot 10^{-7}$). Другие новые системы находятся в об-ре
2300-2360 Å и относятся к переходу C'17-B'1.

В адсорбции были использованы гидраты системных ионов
в сферах выше 2200 Å перехода B₁-X₃³⁻.

Верхний конус имеет высоту $h = 10$
и диаметр основания $D = 317$. Для определения веса
мы получено $W_e = 673$ и $W_e X_e = 3 \text{ см}^3$.

AsF

XIII - 1549

1971

3 Б122. Анализ вращательной структуры четырех синглетных систем полос молекулы AsF. Liu D. S., Yee K. K., Jones W. E. The rotational analysis of four singlet systems of AsF. «J. Mol. Spectrosc.», 1971, 38, № 3, 512—523 (англ.)

M. N.
5

Исследованы спектры излучения и поглощения молекулы AsF. Идентифицирована вращательная структура полос 1—0, 0—0, 1—1, 0—1, 1—2, 1—3, 0—3 и 1—4 системы перехода $C^1\Pi - a^1\Delta$ (2350—2530 Å), полос 1—0, 0—0 и 0—1 системы перехода $C^1\Pi - b^1\Sigma^+$ (2780—2910 Å), полос 0—0 и 0—1 системы перехода $d^1\Pi - a^1\Delta$ (2290—2405 Å) и полосы 0—1 системы перехода $d^1\Pi - b^1\Sigma^+$

2, 1971, 3.

(268—2755 Å). Обнаружено А-удвоение линий с высокими I и предиссоциация уровней с $V'=1$ и $I \approx 75$ в системе $C-a$. Определены значения колебательно-вращательных постоянных для всех 4 состояний AsF. Равновесные значения энергетич. термов T_e , частоты колебания ω_e и межъядерного расстояния r_e равны: $T_e = 6596(b)$, $41680(C)$, $43628(d)$, ≈ 7000 см $^{-1}$ (a), $\omega_e = 694(a)$, $691(b)$, 808 см $^{-1}$ (C), $r_e = 1,7325(a)$, $1,7267(b)$, $1,6452(C)$ и $\geq 1,6452$ Å (d).

М. Р. Алиев

AsF

XIII - 1579

1971

(1 Д366.) Вращательный анализ четырех синглетных систем AsF. Liu D. S., Yee K. K., Jones W. E. The rotational analysis of four singlet systems of AsF. «J. Mol. Spectrosc.», 1971, 38, № 3, 512—523 (англ.)

Выполнен полный анализ вращательной структуры спектров испускания систем $d^1\Pi-a^1\Delta$, $C^1\Pi-a^1\Delta$, $d^1\Pi-b^1\Sigma^+$ и $C^1\Pi-b^1\Sigma^+$ молекулы AsF, сфотографированных с высоким разрешением. Кроме эмиссионных спектров, возбуждаемых при пропускании паров AsF_3 через ВЧ-разряд, исследованы спектры поглощения систем $d^1\Pi-a^1\Delta$ и $C^1\Pi-a^1\Delta$, полученные методом импульсной спектроскопии. Приведены величины числа вращательных линий 17 полос и молекулярные константы для состояний $a^1\Delta$, $b^1\Sigma^+$, $C^1\Pi$ и $d^1\Pi$. Библ. 9. И. Дворников

9, 1972, 18

AsF

XIV - 1579

1971

M. N.

traces
accident

56100 Rotational analysis of four singlet systems of arsenic fluoride. Liu, D. S.; Yee, K. K.; Jones, William Ernest (Dep. Chem., Dalhousie Univ., Halifax, Nova Scotia). *J. Mol. Spectrosc.* 1971, 38(3), 512-23 (Eng). Four singlet band systems in the region 2290-2910 Å attributed to the AsF mol. have been photographed both in emission and absorption at high dispersion. A complete rotational anal. of each band has been performed and the mol. consts., are calcd. for each of the 4 states, $c^1\Sigma$, $b^1\Sigma$, $c^1\Pi$ and $d^1\Pi$, involved in the transitions.

P. & F. 1971. 95. 8

AsF

XII - 23H

1972

68152w Spectrum of arsenic monofluoride in the near vacuum ultraviolet and near infrared regions. Liu, D. S.; Jones, W. E. (Chem. Dep., Dalhousie Univ., Halifax, Nova Scotia). *Can. J. Phys.* 1972, 50(12), 1230-51 (Eng). Three singlet-triplet transitions, $b^1\Sigma^+ - X^3\Sigma^-$, $c^1\Pi - X^3\Sigma^-$, and $d^1\Pi - X^3\Sigma^-$, and two $^3\Pi - X^3\Sigma^-$ transitions attributed to AsF, were found in the regions 1900-2300 and 7000-7400 Å. The vibrational anal. for the obsd. systems and the rotational anal. of the singlet-triplet transitions are complete. The anal. shows that the ground state $X^3\Sigma^-$ belongs to Hund's case c. with a spin coupling const. λ of $\sim 70 \text{ cm}^{-1}$. The anal. of the obsd. transitions and a discussion of the relative position and mol. configurations of the obsd. states are presented.

(u. h)

C.A. 1972.77.10

1973

AsF

(M.N.)

announced 1823

XII - 24/13

101930k Electronic states with $\sigma\pi$ configuration of arsenic monofluoride. I. $c'\Pi$ state. Chatalic, Andre; Danon, Nejat; Iacocca, Diodoro; Pannetier, Guy (Lab. Cinet. Chim., Univ. Paris VI, Paris, Fr.). *J. Chim. Phys. Physicochim. Biol.* 1973, 70(11-12), 1600-7 (Fr). Two singlet-singlet transitions $c'-a'$ and $c'-b'$, and 1 singlet-triplet transition $c'-X$ of the AsF[·] radical were studied at 2900-5600 Å. The vibrational and rotational anal. showed that the upper state common to the 3 transitions is $a'\Pi$ state. The mol. consts. in this state are $\omega_e = 399.38 \text{ cm}^{-1}$; $\omega_{e,x_e} = 1.34 \text{ cm}^{-1}$; $\omega_{e,y_e} = -0.015 \text{ cm}^{-1}$; $B_e = 0.2932 \text{ cm}^{-1}$; $a_e = 0.0018 \text{ cm}^{-1}$; $D_e = 6.2 \times 10^{-7} \text{ cm}^{-1}$, and $r_e(\text{\AA}) = 1.948$.

C.A. 1974. 80. N18

AsF

документ 1823
ХІІІ - 24/3

1973

6 Д397. Изучение электронных состояний конфигурации σ⁺ радикала AsF. Ч. I. Состояние c'1Π. Chatalic André, Danon Néjat, Iacocca Diodoro, Panetier Guy. Etude des états électroniques du mono-fluorure d'arsenic de configuration σ⁺. I. L'état c'1Π. «J. chim. phys. et phys.-chim. biol.», 1973, 70, № 11—12, 1600—1607 (франц.; рез. англ.)

Изучены полосы излучения трех систем переходов радикала AsF с общим верхним состоянием: c''1Π—b¹Σ⁺ (4500—5600 Å), c'1Π—a'¹Δ (3500—4500 Å) и c'1Π—X³Σ⁻ (2900—3100 Å). В результате анализа колебательной и вращательной структуры полос получены значения молекулярных констант состояния c'1Π (в см⁻¹): $\omega_e = 399,38$, $\omega_e x_e = 1,34$, $\omega_e y_e = -0,015$, $B_e = 0,2932$, $\alpha_e = 0,0018$, $D_e = 6,2 \cdot 10^{-7}$ и $r_e = 1,948$ Å. Обсуждается электронная структура радикала AsF в состояниях c', a, b и X. Библ. 9.

Ф. 1974 № 6

отмечена 1823

1973

AsF

13 Б158. Об электронных состояниях монофторида мышьяка с конфигурацией $\sigma\pi$. I. Состояние $c^1\Pi$. Chatalic André, Danon Néjat, Lacocca Diodoro, Pannetier Guy. Etude des états électroniques du monofluorure d'arsenic de configuration $\sigma\pi$. I. L'état $c^1\Pi$. «J. chim. phys. et phys.-chim. biol.», 1973, 70, № 11—12, 1600—1607 (франц., рез. англ.)

Получен спектр AsF в разрядной трубке Шюлера с разрешением 200 000 в области 2900—5600 Å. Изучены три системы полос: две синглет-синглетных $c'-a$ и $c'-b$ и одна синглет-триплетная $c'-X$. Проведен анализ вращательной структуры полос до $v'=8$ и анализ колебательной структуры. Показано, что состояние c' относится к типу $^1\Pi$. Определены постоянные этого состояния (в см^{-1}): $T_e = 32479,48$; $B_e = 0,2932$; $\alpha_e = 0,0018$; $D_e = 6,2 \cdot 10^{-7}$; $\omega_e = 399,38$; $\omega_e x_e = 1,34$; $\omega_e y_e = -0,015$. Уточнены постоянные состояний $a^1\Delta$ и $b^1\Sigma^+$. Приведены волновые числа линий вращательной структуры.

Д. И. Катаев

Синтез, 24/13

и. н.



Х. 1974 № 13

1973

AsF

20 Б172 Д. Анализ спектров испускания и поглощения монофторида мышьяка. Спектры поглощения монохалогенидов сурьмы. Danon N. Nejat. Analyse des spectres d'émission et d'absorption du monofluorure d'arsenic. Spectres d'absorption des monohalogénures d'antimoine. Thèse doct. sci. phys. Univ. Paris, 1973. 176 р., ill. (франц.)

М.Н.

Диссертация, посвященная изучению спектров испускания и поглощения AsF в области 3000—5500 Å. Выполнен анализ колебательных и вращательных тонких структур переходов $c^1\Pi - a^1\Delta$, $c^1\Pi - b^1\Sigma^+$, $A^3\Pi - X^3\Sigma^-$ и $c^1\Pi - X^3\Sigma^-$; рассмотрены также спектры AsF в дальней УФ-области.

Б. В. Рассадин

д. 1975 № 20

1973

AsF

Hase H.L.Schweig A.

Theor.Chim.Acta I973

31(3),215-20(Eng)

~~2e, 2, 3~~ CND0 2(complete neglect

of differential overlap)

method for third-low molecules.

(eu. 6eHx; III)

ASF

Liu S.S

1973

Jones W.E.

(min.) "Can. J. Phys"

1972, 50, N12, 1230-51.

Спектр ASF в близиности вакуумной
гистерезисовой и близиности Ч.К. областей.

P.N. 1973 N 15165.

1973

AsF: (AsF^- ; AsF^+ ; AsF^{2+})
обсуждение XIII-2569

7 Д119. Монофторид мышьяка (AsF , ${}^3\Sigma$): энталпия диссоциации, потенциал ионизации, сродство к электрону, дипольный момент, спектроскопические постоянные и термодинамические функции идеального газа, полученные из хартри-фоковских молекулярно-орбитальных расчетов. O'Hage R. A. G., Batana Alisia, Wahl Arnold C. Arsenic monofluoride (AsF , ${}^3\Sigma$): dissociation enthalpy, ionization potential electron affinity, dipole moment, spectroscopic constants, and ideal gas thermodynamic functions from a Hartree-Fock molecular orbital investigation. «J. Chem. Phys.», 1973, 59, № 12, 6495—6501 (англ.)

Методом Рутана рассчитаны точные хартри-фоковские волны, ф-ции и энергии основного состояния (${}^3\Sigma$) AsF для ряда межатомных расстояний. Полученная потенц. кри-

ФД 1974

N7

(+) Т.Г.Р. • (+) исходы АСГ

вая была проанализирована методами Морзе и Данхэма, найденные значения спектроскопич. постоянных использованы для расчета термодинамич. ф-ций идеального газа для ряда т-р в интервале 0—1000° К. Наиболее вероятное значение $D_0^0(\text{AsF})$ равно $4,2 \pm 0,2$ эв. Расчетные значения равновесного межатомного расстояния, потенциала ионизации, сродства к электрону, дипольного и квадрупольного моментов равны, соответственно $1,72 \text{ \AA}$; $9,4 \pm 0,2$ эв; 1,1 эв; 1,75 ед. Дебая (As^+F^-) и $-2,44 \cdot 10^{-26}$ эл.-ст. ед. $\cdot \text{см}^2$. Кратко обсуждаются характеристики ионов AsF^+ , AsF^{2+} и AsF^- .

В. И. Барановский

ГЕНК
ОНИРО

XII - 25 69

1973

AsF

М.Н. Чс

T.G. op

13 Б24. Монофторид мышьяка (AsF , ${}^3\Sigma$). Расчеты методом Хартри — Фока энталпии диссоциации, потенциала ионизации, сродства к электрону, дипольного момента, спектроскопических постоянных и термодинамических функций в идеальном газовом состоянии. Оле Наге Р. А. Г., Batana Alicia, Wahl Arnold C. Arsenic monofluoride (AsF , ${}^3\Sigma$): dissociation enthalpy, ionization potential, electron affinity, dipole moment, spectroscopic constants, and ideal gas thermodynamic functions from a Hartree—Fock molecular orbital investigation. «J. Chem. Phys.», 1973, 59, № 12, 6495—6501 (англ.)

Ограничанным методом Хартри — Фока проведен расчет основного состояния ${}^3\Sigma$ молекулы AsF при 5 межъядерных расстояниях (2,9—3,5 ат. ед., включая точку хартри-фоковского минимума 3,25 ат. ед.). Базисный

Х 1974. № 13

⊗ 42 ней. иссл.
AsF; BiF

Библиотека 1825

набор состоял из 20 слейтеровских функций s -, p -, d - и f -типа для As и 10 функций s -, p -, d -типа для F. Электронная конфигурация основного состояния ${}^3\Sigma$: $KKLM(z\sigma)^2(y\sigma)^2(x\sigma)^2(w\pi)^4(v\pi)^2$. При $R=3,25$ ат. ед. проведен также расчет ${}^2\Pi$ -состояний ионов AsF^+ и AsF^- ; электронные конфигурации ионов получены удалением или добавлением $v\pi$ -электрона. Для AsF приведены значения полной энергии, дипольного и квадрупольного моментов и орбитальных энергий при всех расстояниях, а также спектроскопич. постоянные, полученные как с потенциалом Морзе, так и на основе процедуры Даихэма. В приближении жесткий ротатор — гармонич. осциллятор вычислены термодинамич. функции идеального газового состояния AsF в области $T=0-1000^\circ \text{K}$. Энталпия диссоциации $D_0(\text{AsF})$ оценена равной $4,2 \pm 0,2$ эв, вертикальный Пт ионизации — 9,4 эв, сродство к электрону — 1,1 эв. Даны оценки для первого и второго Пт ионизации SbF и BiF .

Н. Ф. Степанов

31011.7329

Ph, Ch, TE, MGU

Физика 1227

ASP

30063

1973

(e)

K p. N 31011.7328

VIII - 5743

Vesth L.

Hund's coupling case (c) in diatomic
molecules. II. Examples.

"J. Phys. B: Atom. and Mol. Phys.", 1973,
6, N 8, 1484-1496

(англ.)

0981 /cer/ СИК

957 963

974

ВИНИТИ

ASF

on March 2155 1974

Barrow R.F

Yee K.K.

"Acta phys. Acad. Sci.
Hung."

1974, 35, n 1-4, 239-46

The 3^+ -ground states of ...

45-6/1/47

1974

ASF

17 Б166. Изучение электронных состояний монофторида мышьяка с конфигурацией $\sigma\pi$. II. Состояние $A^3\Pi$.
Chatalic André, Danon Néjat, Pannetier

Guy. Etude des états électroniques du monofluofige d'arsenic de configuration $\sigma\pi$. II. L'état $A^3\Pi$. «J. chim. phys. et phys.-chim. biol.», 1974, 71, № 2, 243—254
(франц., рез. англ.)

Спектр монофторида мышьяка в ближней УФ-области содержит множество полос, оттененных в длинноволновую сторону. Большинство этих полос в интервале 3250—4400 Å относятся к переходу $A^3\Pi - X^3\Sigma^-$. Анализ

Электр.
Составлено

Х. 1974 № 17

колебательной и вращательной структуры позволил распределить эти полосы по четырем подсостояниям: $A^3\Pi_2 - X(1)$, $A^3\Pi_1 - X(0^+)$, $A^3\Pi_0^- - X(1)$ и $A^3\Pi_0^+ - X(1)$. Определены предварительные значения постоянных нового состояния $A^3\Pi$ (в см. $^{-1}$): $T_e(A^3\Pi_2) = 27\ 151$; $T_e(A^3\Pi_1) = 26\ 347$; $T_e(A^3\Pi_0^+) = 25\ 754$; $T_e(A^3\Pi_0^-) = 25\ 718$; для $A^3\Pi_2 \omega_e = 412,28$; $\omega_e x_e = 1,43$; $\omega_e y_e = 0,031$; $B_e = 0,2918$; $\alpha_e = 0,0020$; $D_e \approx 6 \cdot 10^{-7}$. Уточнены постоянные основного состояния. Сообщ. I см. РЖХим, 1974, 13Б158.

Д. И. Катаев

ASF

XIS-4447

1974

(M, h)

126377y Electronic states of $\sigma\pi$ -configuration arsenic monofluoride. II. $A^3\Pi$ state. Chatalic, Andre; Danon, Nejat; Pannetier, Guy (Lab. Cinet. Chim., Univ. Paris VI, Paris, Fr.). *J. Chim. Phys. Physicochim. Biol.* 1974, 71(2), 243-54 (Fr). The spectrum of AsF has numerous red-shaded bands in the near uv. Most of these belong to the $A^3\Pi - X^3\Sigma^-$ transition. Vibrational and rotational anal. classified these bands into 4 sub-systems: $A^3\Pi_1 - X(1)$, $A^3\Pi_1 - X(0^+)$, $A^3\Pi_0^+ - II(1)$; and $A^3\Pi_0^+ - X(1)$. The vibrational and rotational consts. of the new state $A^3\Pi$ were detd. for the 1st time. The sepn. of the components of the states A and X and the values of the A doubling consts. are interpreted by interactions between electronic states.

C.A. 1974. 80. N22

AsF

М.Н.

45-444-7

8 Д455. Изучение электронных состояний AsF конфигурации $A^3\Pi$. Ч. II. Состояние $A^3\Pi$. Chatalic André, Danon Néjat, Pannetier Guy. Etude des états électroniques du monofluoigure d'arsenic de configuration Δ л. II. L'état $A^3\Pi$. «J. chim. phys. et phys.-chim. biol.», 1974, 71, № 2, 243—254 (франц.; рез. англ.)

Выполнен анализ колебательной и вращательной структуры полос с красным оттенением в спектре излучения молекулы AsF, расположенных в области 3000—3600 Å и принадлежащих переходу $A^3\Pi - X^3\Sigma^-$. Вследствие расщепления состояний на отдельные компоненты полосы образуют 4 подсистемы $A^3\Pi_2 - X(1)$, $A^3\Pi - X(0^+)$, $A^3\Pi_0^- - X(1)$ и $A^3\Pi_0^+ - X(1)$. Впервые определены колебательные и вращательные константы и величины расщепления между компонентами состояния $A^3\Pi$ и приведена таблица их значений. Аномальные величины констант Λ -удвоения объяснены взаимодействием между электронными состояниями. Дано сводная таблица параметров всех известных к настоящему времени электронных состояний молекулы AsF и проведено со-
поставление с изоэлектронными молекулами NF, PF и BiF. Библ. 23. Ч. I см. РЖФиз, 1974, 6Д397. В. А.

(3)

☒

9.1974. №

AsF
SbF

XIII - d. 6/2

1974.

15 Б164. Спектры высокого разрешения радикалов AsF и SbF для определения основного $X^3\Sigma^-$ и низших возбужденных состояний. Jones W. E., Liu D. S., Wang D. K. W., Prevot Colin R. High resolution spectra of the radicals AsF and SbF characterization of the ground $X^3\Sigma^-$ and low lying excited states. «Вег. Bunsen ges. phys. Chem.», 1974, 78, № 2, 201 (англ.)

Выполнен анализ эмиссионного спектра молекул AsF и SbF в ближней ИК-области спектра, возбужденной в МВ-разряде в парах AsF_3 и в порошкообразном SbF. В обоих случаях наблюдаются переходы между низшими возбужденными электронными состояниями и основным электронным состоянием. Для этих состояний определены постоянные. Основные состояния обеих молекул характеризуются случаем Гунда с. Для AsF и SbF определены постоянные спин-спинового взаимодействия соотв., равные 69,7 и 399,1 см^{-1} . Обсуждена связь изученных переходов с другими известными переходами AsF и SbF.

С. Н. Мурзин

X. 1974 N 15



40402.3632

TE, Ch

XII-2612
AsF 50701 02

1974
51 кг.

Jones W.E., Liu D.S., Wang D.K.W., Prevot
Colin R. High resolution spectra of the

radicals AsF and SbF characterization of
the ground $X^3\Sigma^-$ and low lying excited
states. "Ber. Bunsenges. phys. Chem.",

1974, 78, N 2, 201 (англ.)

(см. на обороте)

0076 РНК

061 062

0069 8577

ВИНИТИ

Фамилия ред.

High Resolution Spectra of the Radicals AsF and SbF Characterization of the Ground $X^3\Sigma^-$ and Low Lying Excited States

по рубрике

By W. E. JONES, D. S. LIU, and D. K. W. WANG,

Department of Chemistry, Dalhousie University, Halifax,
Nova Scotia, Canada

and F. PREVOT and R. COLIN,

Laboratoire de Chimie Physique Moléculaire,
Université Libre de Bruxelles, Brussels, Belgium

Категория оплаты

Заказ реферата

Реферат

Гонорар.
Выработка

Редакто

Редакто

Виза ред

Considerable information on the two molecules AsF and SbF has been provided by the near infrared emission spectrum produced by a microwave discharge through AsF_3 vapour and over SbF powder. In both cases, transitions between low lying excited electronic states and the ground electronic state have been observed. The analysis of these transitions has permitted the determination of the constants of the states involved and has led to a better understanding of the ultraviolet spectra of AsF and SbF. The constants determined for the ground states are:

	AsF	(cm ⁻¹)	SbF	
	$X_1\text{O}^+$	$X_1\text{I}$	$X_1\text{O}^+$	$X_1\text{I}$
B_e	0.3648	0.3709 ^{a)}	0.278 ^{b)}	0.2800 ^{a)}
$Z_e \cdot 10^3$	2.4	2.8		2.3
$D_e \cdot 10^7$	3.9	5.15		2.7
$q_0 \cdot 10^4$		3.4		3.6
ω_e	658.78	685.50	609.0	612.6
ω_{eX_e}	3.12	2.95	2.6	2.6
$r_e (\text{\AA})$	1.7462	1.7319	1.922 ^{b)}	1.9151

^{a)} Average of B^1 and B^3 .^{b)} Values for $v = 0$ level.

In both molecules the ground states belong to Hund's case "c" and have spin-spin interaction constants λ of 69.7 and 399.1 cm⁻¹ for AsF and SbF, respectively.

The analysis of the near infrared transitions and their relationship to other known transitions for AsF and SbF is discussed.

ав набор

AsF (e.n.)

XIII-3148

1925-

Danon N. N.

These doct. sci phys. Univ. Paris, 1973,
176 p. (pp).

Analyse des spectres d'émission et
d'absorption du monofluorure
d'arsenic. Spectres d'absorption des
monohalogénures d'antimoine.

Pr Xmas, 1975, 205172 D. 10 (P)

AsF₃⁺

ommuna 3590.

1975

As-F (d) Pabst R. E, Meador
(A.P.) R.F., Margrave Y.L;
Franklin Y.L.

(g) Chem. department, Rice Univ.
Houston, Texas 77001.

Energetics of the ionization and
fragmentation of AsF₃ by electric impact.

AsF 1975

3 Д146. Вероятности колебательных переходов и r -центроиды систем $c^1\Pi - b^1\Sigma^+$ и $c^1\Pi - a^1\Delta$ спектра AsF. Sinha S. P., Chatterjee C. L. *Vibrational transition probabilities and r -centroids of ($c^1\Pi - b^1\Sigma^+$) and ($c^1\Pi - a^1\Delta$) systems of AsF.* «Indian J. Pure and Appl. Phys.», 1975, 13, № 5, 345—347 (англ.)

спектр
(ч. II)

Приводятся численные значения колебательных и вращательных постоянных и равновесных расстояний r_e в состояниях $c^1\Pi$, $b^1\Sigma^+$ и $a^1\Delta$ молекулы AsF. Эти постоянные использованы для вычисления факторов Франка — Кондона и r -центроид для систем полос $c^1\Pi - b^1\Sigma^+$ и $c^1\Pi - a^1\Delta$, $v' = 0 \div 4$, $v'' = 0 \div 4$. Факторы Франка — Кондона вычислены без учета и с учетом изменения значений r_e ; r -центроиды определены по методу квадратного ур-ния и по графич. методу. Приведено использованное в расчете асимптотич. выражение для γ -ф-ции. Найдено, что $(0, 0)$ -полоса наиболее интенсивна и интенсивность быстро убывает в (v', v'') -прогрессиях, r -центроиды уменьшаются с возрастанием длины волны.

М. А. Ковнер

X 1976 № 3

AsF (u.n.)

XIII-2649

1977

Chatalic A., Danon N., Pannetier G.,
J. chim. phys. et phys.-chim. biol.,
1977, 79(2), 243-54.

Electronic states of $\sigma\pi$ -configuration
arsenic monofluoride. II. $A^3\pi$ state.

C.A. 1974.80.N22.126377y. 10



AsF

#4 - 18051

1977

87: 124853w The ultraviolet band systems of arsenic monofluoride: rotational analysis of the $e0^-$ - X_{21} and $f0^+$ - X_{21} transitions. Vasudev, R.; Jones, W. E. (Dep. Chem., Dalhousie Univ., Halifax, Nova Scotia). *Can. J. Phys.* 1977, 55(4), 337-43 (Eng). The band system of AsF tentatively designated as B - X_{21} by D. S. Liu and W. E. Jones (1972) consists of 2 transitions, designated as $e0^-$ - X_{21} and $f0^+$ - X_{21} . The Ω doubling in the $c1$ state, which is due to the proximity of the $e0^-$ and $f0^+$ states, is interpreted in terms of a model describing the interactions.

III, 11.

C. A. 1977, 87 n 16

AsF

ФС-18051

1977

У8Д431. УФ-системы полос AsF: вращательный анализ переходов $e0^- - X_21$ и $f0^+ - X_21$. Vasudev R., Jones W. E. The ultraviolet band systems of arsenic monofluoride: rotational analysis of the $e0^- - X_21$ and $f0^+ - X_21$ transitions. «Can. J. Phys.», 1977, 55, № 4, 337—343 (англ.; рез. франц.)

Вновь проанализированы спектрограммы поглощения и испускания молекул AsF, полученные ранее Лайу и Джонсоном (см. РЖФиз, 1972, 12Д326). Анализу подвергнуты полосы поглощения 0—0 и 1—0 и испускания 0—1 и 1—4 перехода, идентифицированного первоначально как $B - X_21$. Показано, что система полос, идентифицированная как $B - X_21$, в действительности обусловлена двумя переходами $e0^- - X_21$ и $f0^+ - X_21$. С помощью модели, описывающей взаимодействия состояния $c1$ с $e0^-$ и $f0^+$, интерпретировано Ω -удвоение в состоянии $c1$.

Ф. 1977
N 8

ASF

1978

Kristiansen P.

Can. J. Phys., 1978, 56, N10,
1399-1401

M.N.

cut. SeO - III

ASF

Lemnaceu 9752 | 1979

хрупкое
полимер.
железа

Ramakrishna T. V.
et al.

Indian J. Pure Appl.
Phys., 1979, 17, 812-44

ASF

1979

Rao T. V. R. et al

No
nomesces
Krebsore

Indian J. Pure Appl
Phys., 1979, 17 (12), 842-4

(See. NF; III)

ASF

Lommuck 14506

1981

Crit. noem.
pacem.

Rao T.V.R., Reddy R.R.,
et al.,

Acta Phys. Acad. sci.
hung., 1981, 50, N⁴,

● 305-311.

FAs

[om. 27890]

1987

Kaparebige T.B.,

(He)

He. 9213. Xerces, 1987,
61, N8, 2070-2074.



AfF

(OM 34377)

1990

Fink E.H., Krese H. et al.

Acta Phys. Hung. 1990,
67, N 1-2, 67 - 72.

III. High Resolution Fourier-

Transform Spectra of the
 $a^1A(g) \rightarrow X^3\Sigma(g)$, $b^1\Sigma^+(g) \rightarrow X^3\Sigma(g)$

and $\delta^1\Sigma^+(g) \rightarrow \alpha^1A(g)$ systems
of O_2 , SO , S_2 and isolectronic
molecules in the NIR Region.

AsF

ЛМ-36724

1992

Неструевко А.М., Осеевский В.И.
Мерзляк. и др.,
Справочник,
расчет 21. спутников. хеллии,
1992, 33, № 4, 135-137.

1993

120: 89440k Use of relativistic core potentials to compute potential curves and lifetimes of low-lying states of arsenic fluoride. Liebermann, Heinz-Peter; Boustani, Ihsan; Rai, Sachchida N.; Alekseyev, Aleksey B.; Hirsch, Gerhard; Buenker, Robert J. (Bergische Universitaet, Gesamthochschule Wuppertal, Fachbereich 9, Theoretische Chemie, Gaußstrasse 20, D-42097 Wuppertal, Germany). *Chem. Phys. Lett.* 1993, 214(3-4), 381-90 (Eng). The effects of spin-orbit coupling and other relativistic interactions on the electronic structure of the As fluoride mol are analyzed with the aid of ab initio CI calcns. based on effective core potentials. The computed results for potential curves, vibrational wavefunctions and radiative transition probabilities between various low-lying states of AsF are compared with analogous data for the fluorides of the heavier Group VA atoms, Sb and Bi. Measured spin-orbit splittings for the $X^3\Sigma$ - and $A^3\Pi \lambda-s$ states are accurately reproduced in the relativistic CI and computed trends in the parallel and perpendicular $b0^+-X$ transition probabilities for this group of fluorides agree with the observations of R. Colin et al. (1982). Inclusion of a semi-diffuse s orbital on the F atom is important in describing the σ^* MO occupied in the $A^3\Pi$ and $c^3\Pi \lambda-s$ states. Computed elec. dipole moments indicate that the latter states are more strongly polarized (neg. F) than their lower-energy counterparts with π^2 electronic configurations.

$X^3\Sigma$, $A^3\Pi$,
(kinetic. k_{coll.})

C.A. 1994, 120, N8

AsF

1995

Zat�zadeh Lida,
Balasubramanian K.

(d)

Chem. Phys. Lett. 1995,
237 (3, 4), 222-8.

(C₆₀, AsF₂; II)

1996

F: AsF

P: 3

16Б125. Спектроскопические константы и кривые потенциальной энергии AsF. Spectroscopic constants and potential energy curves of AsF / Latifzadeh Lida, Balasubramanian K. [Chemical Physics Letters] // Chem. Phys. Lett. - 1996. - 250, N 2. - С. 171-177. - Англ.

Неэмпирическими методами ССП в полном активном пространстве и КВ в различных вариантах рассчитаны спектроскопические константы ($R[e]$, $T[e]$, ' $\mu'[e]', $w[e]$, $D[e]$) и кривые потенциальной энергии для 21 электронного состояния AsF. Рассчитанные константы хорошо согласуются с экспериментальными данными. Библ. 31.$

РГУХ 1997

AsF

1996

124: 214664x Spectroscopic constants and potential energy curves of AsF. Latifzadeh, Lida; Balasubramanian, K. (Department of Chemistry and Biochemistry, Arizona State University, Tempe, AZ 85287-1604 USA). *Chem. Phys. Lett.* 1996, 250(2), 171-7 (Eng). Spectroscopic consts. and potential energy curves of 21 electronic states of AsF are computed using the complete active space SCF (CASSCF) followed by 1st- and 2nd-order CI (FOCI, SOCI) and multi-ref. singles and doubles CI (MRSDCI) methods. The computed spectroscopic consts. agree with the exptl. values for the obsd. states.

M. A. ,
McOp. Jan 17

C.A. 1996, 124, N/16

AsF

Latifzadeh L, Balasubra-1996
manian

26 Aug. 21.
Coop., M.N.,
Geop. pacem

Chem. Phys. Lett.; 1996, 250,
w2, p. 171 - 177.

Spectroscopic constants and
potential energy curves of
AsF.